

КВАНТОВЫЕ КОГЕРЕНТНЫЕ ЭФФЕКТЫ В ГЕРМАНИИ, ЛЕГИРОВАННОМ МЫШЬЯКОМ

Бильгильдеева Т. Ю., Полянская Т. А.

Из теории квантовых когерентных эффектов следует, что в многодолинных полупроводниках величина поправки к проводимости и анизотропия магнитосопротивления существенно зависят от степени анизотропии подвижности носителей в долинах и от соотношения между временем релаксации междолинного рассеяния τ_v и временем релаксации фазы электронной волновой функции τ_φ . В отсутствие обмена долин электронами, когда $\tau_\varphi / \tau_v = \delta \ll 1$, магнитосопротивление анизотропно, так как вклад каждой долины в магнитопроводимость зависит от угла между направлением магнитного поля и главной осью эллипса оиды эффективных масс. В противоположном случае, когда $\delta \gg 1$, междолинное рассеяние приводит к усреднению процессов интерференции по всем долинам и к изотропности магнитосопротивления. По предварительным оценкам, для германия, легированного мышьяком, при возрастании концентрации примеси от критической концентрации, соответствующей переходу металл—диэлектрик, величина δ изменяется от $\delta \approx 1$ до $\delta \gg 1$. Хотя для случая $\delta \approx 1$ количественная теория отрицательного магнитосопротивления не разработана, мы проанализировали экспериментальные зависимости отрицательного магнитосопротивления от температуры, концентрации As и от направления магнитного поля в Ge : As. Степень анизотропии магнитосопротивления характеризовалась эффективным значением коэффициента анизотропии подвижности \tilde{K} , определенным тем же способом, что и в случае $\delta \ll 1$, для которого существует количественная теория отрицательного магнитосопротивления. Используя эти значения \tilde{K} , мы оценили время τ_φ в Ge : As. Температурная и концентрационная зависимости τ_φ хорошо описываются теорией, учитывающей межэлектронное и обычное электрон-фононное взаимодействия в «грязных» (неупорядоченных) проводниках.

Известно, что в трехмерных полупроводниках с изотропной массой носителей заряда аномальное магнитосопротивление (AMC), связанное со слабой локализацией, также изотропно, т. е. не зависит от взаимной ориентации векторов плотности тока и магнитного поля [1, 2]. Анизотропия AMC появляется в многодолинных полупроводниках, обладающих анизотропным коэффициентом диффузии $D_{t,1} = 2\epsilon_F \mu_{t,1} / 3e$, возникающим из-за анизотропии эффективной массы (рассматривается случай вырожденного электронного газа $\epsilon_F \gg kT$), $\mu_{t,1} = e\tau_{t,1}/m_{t,1}$.

В отсутствие обмена долин электронами, что соответствует неравенству

$$\tau_\varphi \ll \tau_v$$

(τ_v — время междолинных переходов, τ_φ — время сбоя фазы волновой функции), вклады различных долин аддитивны:

$$\Delta\sigma_{\alpha\beta}(H) = \sum_{(\nu)}^N \Delta\sigma_{\alpha\beta}^{(\nu)}(H),$$

здесь $1 \leq (\nu) \leq \tilde{N}$, \tilde{N} — число долин. Каждому слагаемому в сумме соответствует свой угол между осью эллипса оида ν и магнитным полем H , а анизотропия AMC обусловлена коэффициентом анизотропии $K = D_{t,1}/D_{t,1}$. К этому случаю относится, например, германий, легированный сурьмой (Ge(Sb)), что экспериментально подтверждено тщательным изучением анизотропии отрицательного магнитосопротивления (OMC) в работах [3, 4] (при этом было обнаружено, что

$K \approx K_m = m_i^*/m_t^*$). Однако известно, что в германии, легированном мышьяком (Ge(As)), время перебросов τ_ν на 2 порядка меньше [5], и в этом случае (в зависимости от соотношения τ_ν/τ_p) ОМС может оказаться изотропным [2]. Настоящая работа посвящена исследованию квантовых когерентных эффектов в германии, легированном мышьяком.

Если предположить, что в Ge(As) время τ_p формируется теми же процессами, что и в Ge(Sb) [3], то численные оценки τ_p показывают следующее. Частота междолинных перебросов в Ge(As) $\tau_\nu^{-1} \approx 10^{12} \text{ с}^{-1}$ и более чем на порядок превышает частоту сбоя фазы $\tau_p^{-1} \approx 5 \cdot 10^{10} \text{ с}^{-1}$ в этом материале в области преобладания электрон-фононных процессов. При более низких концентрациях электронов, где основную роль играет межэлектронное взаимодействие (вблизи перехода металл—диэлектрик), частота $\tau_p < 10^{12} \text{ с}^{-1}$ для Ge(As) , т. е. становится сравнимой с τ_ν^{-1} . Исходя из этих оценок, можно ожидать в соответствии с теорией [2], что в области больших концентраций мышьяка, где

$$1/\tau_\nu >> 1/\tau_p, \quad (1)$$

междолинное рассеяние приводит к усреднению процесса интерференции по всем долинам и к его изотропности. В этом случае низкотемпературная магнитопроводимость может быть описана выражением

$$\Delta\sigma^L = a_L \frac{G_0}{l_L} \Phi_3^L(x_L), \quad (2)$$

где $x_L = 4eDH\tau_p/hc$, $l_L = (D\tau_p)^{1/2}$, $G_0 = e^2/2\pi^2\hbar$, $a_L = 1-\beta$, β — численный коэффициент, учитывающий вклад от взаимодействия электронов при рассеянии на сверхпроводящих флуктуациях (поправка Маки—Томпсона),

$$\Phi_3^L(x) = \frac{\sqrt{x}}{2} \frac{1}{2\pi} \int_0^\infty t^{-3/2} e^{-2t/x} \left(1 - \frac{t}{\sinh t}\right) dt,$$

с изотропным коэффициентом диффузии, даваемым соотношением Эйнштейна: $D = \sigma_0/e^2g(\varepsilon_F)$, где $g(\varepsilon_F) = \tilde{N}m_a^*k_F/\pi^2\hbar^2$ — плотность состояний для энергии Ферми $\varepsilon_F = \hbar k_F^2/m_a^*$, $m_a^* = (m_t^*m_i^*)^{1/3}$ — средняя масса в долине, \tilde{N} — число долин. С другой стороны, вблизи перехода металл—диэлектрик, где

$$1/\tau_\nu > 1/\tau_p, \quad (3)$$

можно ожидать появления анизотропии ОМС [2]. Однако количественная теория магнитосопротивления в области (3) к настоящему времени не разработана.

Авторы работы [6], исследовавшие влияние давления на низкотемпературную магнитопроводимость в Ge(As) ($N_{As} = 1.3 \cdot 10^{19} \text{ см}^{-3}$), в отсутствие давления наблюдали изотропную магнитопроводимость, что является, по-видимому, подтверждением теории в области неравенства (1). В работе тех же авторов [7] сообщается о том, что время релаксации τ_p в Ge(As) формируется межэлектронным и электрон-фононным взаимодействием. К сожалению, этот вывод не проиллюстрирован экспериментальным материалом.

Мы предприняли попытку более детального анализа отрицательного магнитосопротивления в Ge(As) с точки зрения слабой локализации. Образцы, параметры которых приведены в таблице, вырезались из практически бездислокационных кристаллов, выращенных по методу Чохральского. Ориентация с точностью до 3° производилась оптическим методом — по отражению на плоскостях скола. Образцы представляли собой параллелепипеды с размерами $1 \times 1 \times 10 \text{ мм}$. Токовые контакты изготавливались из медной проволоки и припаивались по

Образец	$10^{-2} \rho_0$, Ом · см	μ_H , $\text{cm}^2/\text{В} \cdot \text{с}$	$1/e R_H \cdot 10^{17} \text{ см}^{-3}$	Ориентация		
				x	y	z
3-100	2.4	600	4.4	$<11\bar{2}>$	$<1\bar{1}0>$	$<111>$
13	1.4	900	4.9	—	—	$<111>$
219-2	0.39	725	22	$<1\bar{1}0>$	$<11\bar{2}>$	$<111>$
219-7	0.18	700	50	$<11\bar{0}>$	$<11\bar{2}>$	$<111>$

всему торцу образца. Потенциальные контакты делались методом термокомпрессии из золотой проволоки диаметром 50 мкм на боковые поверхности образца.

На рис. 1 показаны зависимости квантовой магнитопроводимости $\Delta\sigma^q / \sigma_0$ (см. [3]) от магнитного поля для образца 219-2. Сопоставляя их с теоретическими зависимостями (2), изображенными сплошными линиями, мы определили τ_φ (рис. 2). Отметим, что при $H > 3$ кГс наблюдается расхождение теории и эксперимента. Это происходит в магнитных полях, когда магнитная длина $l_H = \sqrt{\hbar c / eH}$ становится меньше длины свободного пробега электрона, т. е. выражение (2) перестает быть справедливым [6].

Рассмотрим механизмы, формирующие время τ_φ . По аналогии с Ge<Sb> [7] в Ge<As> вклады могут давать время электрон-электронного взаимодействия $\tau_{ee}^{(2)}$, характерное для разупорядоченного металла:

$$\hbar / \tau_{ee}^{(2)} = (\sqrt{3} / 4\sqrt{\epsilon_F}) (kT / k_F l)^{3/2},$$

и время жизни квазичастиц в идеальной ферми-жидкости $\tau_{ee}^{(1)}$

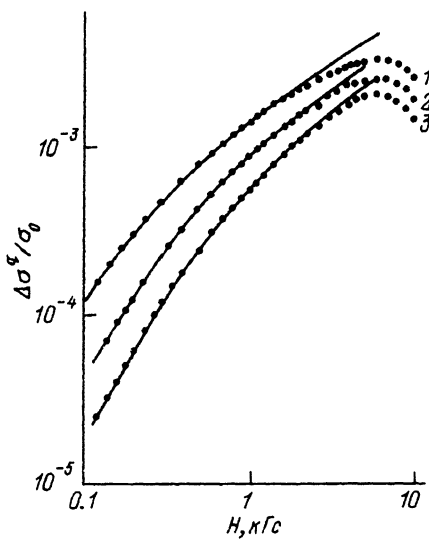


Рис. 1. Зависимости квантовой магнитопроводимости от магнитного поля в Ge<As>.

Образец 219-2, 1 Hz. Точки — эксперимент. Сплошные линии — расчет по (2) со значениями τ_φ , соответствующими рис. 2. T , К: 1 — 1.9, 2 — 2.8, 3 — 4.2.

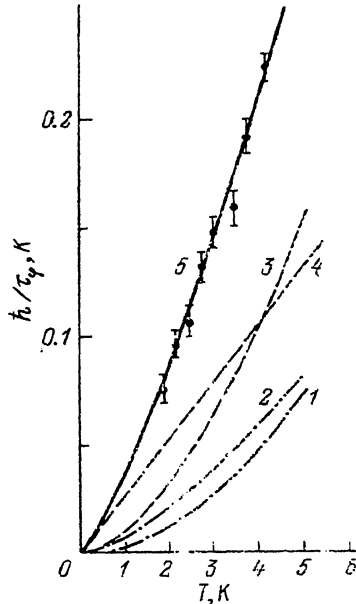


Рис. 2. Зависимость обратного времени релаксации фазы волновой функции h / τ_φ от температуры в Ge<As>.

Образец 219-2, $n = 2.2 \cdot 10^{18} \text{ см}^{-3}$. Расчет: 1 — $1 / \tau_{ee}^{(1)}$, 2 — $1 / \tau_{ee}^{(2)}$, 3 — $1 / \tau_{ee}$, 4 — $1 / \tau_{ph}$, 5 — $1 / \tau_\varphi^\Sigma$. Точки — экспериментальные значения $1 / \tau_\varphi$.

$$\hbar/\tau_{ee}^{(1)} = (\pi kT)^2 / 64\epsilon_F k_F R_0 ,$$

где R_0 — радиус экранирования. Однако видно, что сумма этих слагаемых

$$\hbar/\tau_{ee} = \hbar/\tau_{ee}^{(1)} + \hbar/\tau_{ee}^{(2)} \quad (4)$$

(рис. 2, кривая 3) не описывает экспериментальных значений τ_φ^E , а разность

$$\hbar/\tau' = \hbar/\tau_\varphi^E - \hbar/\tau_{ee} \quad (5)$$

линейно возрастает с температурой (рис. 2, кривая 4), т. е. зависит от температуры как характерное время электрон-фононных столкновений. На основании этого мы полагаем, что время τ' (5) определяет время квазиупругого рассеяния электронов на акустических колебаниях решетки:

$$\hbar/\tau_{ph} = \hbar/\tau' \approx 2.6 \cdot 10^{-2} T . \quad (6)$$

Это значение очень близко к тому, которое можно определить на основании работы [8], где были найдены главные значения тензора времени релаксации для электрон-фононных столкновений $(\tau_{ph}^0)_t$ и $(\tau_{ph}^0)_r$ в Ge(Sb) для $n \approx 10^{12}$ см⁻³ при гелиевых температурах:

$$(\tau_{ph}^0)_t^{-1} = (3.8 \pm 0.1) \cdot 10^8 T^{3/2} ,$$

$$(\tau_{ph}^0)_r / (\tau_{ph}^0)_t = (1.67 \pm 0.1) .$$

Поскольку эти значения получены для очень низкой концентрации легирующей примеси, когда можно считать, что примесные атомы слабо искажают решетку, их, по-видимому, правомерно использовать и в расчетах для Ge(As). Полагая в случае сильного вырождения

$$\tau_{ph} = [(\tau_{ph}^0)_t^2 (\tau_{ph}^0)_r]^{1/3} (kT/\epsilon_F)^{1/2} ,$$

получаем

$$\hbar/\tau_{ph} = 2.1 \cdot 10^{-8} n^{1/3} T ,$$

что при $n = 2.2 \cdot 10^{18}$ см⁻³ составляет $\hbar/\tau_{ph} = 2.7 \cdot 10^{-2}$ Т, т. е. значение, очень хорошо согласующееся с (6). Таким образом, зависимость $\tau_\varphi(T)$ (рис. 2, кривая 5) описывается выражением

$$\tau_\varphi^\Sigma = [\tau_{ee}^{-1} + \tau_{ph}^{-1}]^{-1} ,$$

где τ_{ee} — определяется соотношением (4), а τ_{ph} — соотношением (6).

Эти же механизмы определяют и зависимость τ_φ от концентрации носителей, изображенную на рис. 3. При низких концентрациях мышьяка основной вклад дает электрон-электронное взаимодействие, характерное для разупорядоченного металла (4), а при $n \geq 2 \cdot 10^{18}$ см⁻³ определяющим становится электрон-фононное взаимодействие.

Отметим, что при обработке полевых зависимостей отрицательного магнитосопротивления в Ge(As) в широком диапазоне температур и концентраций выяснилось, что вклад поправок Маки—Томпсона [9] в этом материале, так же как и в Ge(Sb) [10], составляет от 0 до 50%.

Остановимся теперь на вопросе о коэффициенте анизотропии подвижности электронов в Ge(As). Поскольку во всем диапазоне концентраций $n > 3 \cdot 10^{17}$ см⁻³ $\tau_\varphi \ll \tau_{ph}$, казалось бы, при этих концентрациях должно наблюдаться изотропное магнитосопротивление, как и предполагается теорией [3]. Эту гипотезу подтверждает и наблюдавшаяся в работе [4] изотропная магнитопроводимость при $n = 1.3 \cdot 10^{19}$ см⁻³. Однако существует ряд экспериментальных данных [11–13], полученных еще до появления теории квантовых поправок и свидетельствующих о том, что в Ge(As) при гелиевых температурах и концентрациях $\sim 5 \cdot 10^{17}$ см⁻³

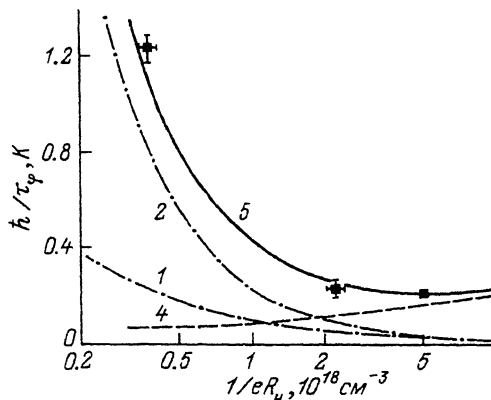


Рис. 3. Зависимость обратного времени релаксации фазы волновой функции от концентрации электронов в Ge(As).

Номера кривых соответствуют тем же механизмам формирования τ_ϕ , что и на рис. 2.

магнитосопротивление анизотропно: продольное ($H \parallel j \parallel x$) магнитосопротивление не равно поперечному ($H \parallel z$). Противоречие между старыми и новыми данными побудило нас глубже исследовать эту проблему.

На рис. 4 показаны полевые зависимости продольного и поперечного магнитосопротивления для трех образцов с различными концентрациями. Видно, что при $n \approx 5 \cdot 10^{18} \text{ см}^{-3}$ магнитосопротивление изотропно, а при $n \approx 4.4 \cdot 10^{17} \text{ см}^{-3}$ есть отчетливая анизотропия (при средней концентрации $2.2 \cdot 10^{18} \text{ см}^{-3}$ отличие продольного магнитосопротивления от поперечного ненамного превышает экспериментальную ошибку). Таким образом, четко прослеживается переход от области, где выполнено условие (1) ($\delta = \tau_\phi / \tau_\nu \approx 80$ для $N_{As} \approx n \approx 5 \cdot 10^{18} \text{ см}^{-3}$ и отрицательное магнитосопротивление изотропно, к области (3). Для того чтобы оценить τ_ϕ / τ_ν в этой области, нужно учесть тот факт, что рассеяние электронов между эквивалентными долинами с участием примеси [14, 15]

$$1/\tau_\nu \sim N_I/k_F \sim N_I^{2/3},$$

и, следовательно, $1/\tau_\nu \sim h^{2/3}$. Таким образом, при $N_{As} \approx n \approx 5 \cdot 10^{17} \text{ см}^{-3}$

$$1/\tau_\nu \approx 5 \cdot 10^{11} \text{ с}^{-1}.$$

Так как в этом случае (рис. 3) $\tau_\phi \approx 6 \cdot 10^{-12} \text{ с}$, то $\delta \approx 3$, т. е. действительно выполняются условия типа (3).

Поскольку количественная теория отрицательного магнитосопротивления в этой области отсутствует, мы сочли возможным проследить переход от анизотропной области (3) к изотропной области (1) с помощью эффективного коэффициента анизотропии диффузии $\tilde{K} = \tilde{D}_\perp / \tilde{D}_\parallel$, определенного из эксперимента. Для его расчета предполагалось, что в области магнитного поля отношение

$$W^* = \left. \frac{\Delta\sigma^L(H_\perp)}{\Delta\sigma^L(H_\parallel)} \right|_{H \rightarrow 0} \approx \left. \frac{\Delta\rho_\perp}{\Delta\rho_\parallel} \right|_{H \rightarrow 0}$$

определяется той же зависимостью от \tilde{K} , что и в отсутствие междолинных перебросов для ориентаций тока $j \parallel \langle 110 \rangle, \langle 112 \rangle$ и магнитного поля $H_\perp \parallel \langle 111 \rangle$ и $H_\parallel \parallel j$:

$$W^* = \frac{8\tilde{K}^2 + 11\tilde{K} + 8}{3[\tilde{K}^2 + 7\tilde{K} + 1]}. \quad (7)$$

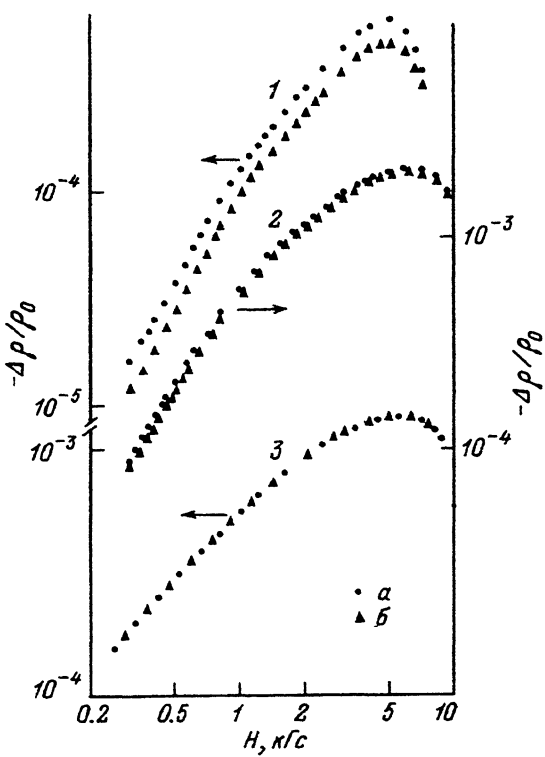


Рис. 4. Зависимости магнитосопротивления от магнитного поля в Ge(As).

$T = 4.2$ К. Образцы: 1 – 3-100, 2 – 219-2, 3 – 219-7. α – $H \parallel z$, β – $H \parallel x||y$.

Зависимость $W^*(\tilde{K})$ показана на рис. 5. Там же приведена зависимость коэффициента \tilde{K} , найденного на основании (7) для наших образцов. Видно, что введенный таким образом коэффициент анизотропии диффузии электронов в Ge(As) зависит от концентрации носителей: $\tilde{K} \approx 1$ при $n \geq 2.5 \cdot 10^{18}$ см⁻³, а при уменьшении концентрации \tilde{K} возрастает. Этот вывод согласуется как с резуль-

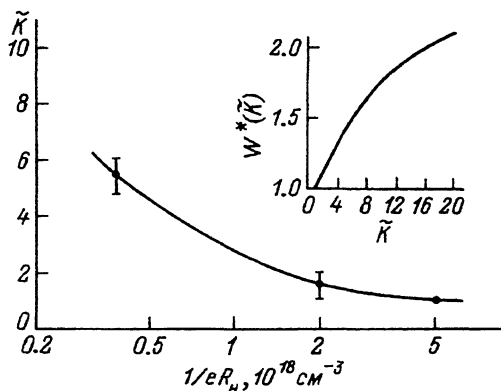


Рис. 5. Зависимость эффективного коэффициента анизотропии диффузии \tilde{K} от концентрации электронов в Ge(As).

$T = 4.2$ К. На вставке – расчет $W^*(\tilde{K})$ согласно (7).

татом работы [4], так и с работой [11] и дает количественные оценки эффекта, соответствующие теоретической модели, изложенной в начале статьи, для той области концентраций примеси мышьяка, где точная количественная теория еще не разработана.

СПИСОК ЛИТЕРАТУРЫ

- [1] Kawabata A. // J. Phys. Soc. Japan. 1980. V. 49. P. 628.
- [2] Альтшулер Б. Л., Аронов А. Г., Ларкин А. И., Хмельницкий Д. Е. // ЖЭТФ. 1981. Т. 81. В. 2(8). С. 768—783.
- [3] Полянская Т. А., Сайдашев И. И. // ЖЭТФ. 1983. Т. 84. В. 3. С. 997—1005.
- [4] Полянская Т. А. // ФТП. 1985. Т. 19. В. 8. С. 1452—1459.
- [5] Mason W. R., Bateman T. B. // Phys. Rev. A. 1964. V. 134. N 5. P. 1347—1396.
- [6] Ионов А. Н., Шлимак И. С. // Письма ЖЭТФ. 1982. Т. 35. В. 4. С. 160—162.
- [7] Ионов А. Н., Матвеев М. Н., Шлимак И. С. // Тез. докл. XXIV Междунар. конф. стран СЭВ по физике и технике низких температур. Берлин, 1985. С. 228—229.
- [8] Гаспарян В. Н., Зюзин А. Ю. // ФТП. 1985. Т. 27. В. 6. С. 1662—1666.
- [9] Полянская Т. А., Круковская Л. П., Шмарцев Ю. В. // ФТП. 1984. Т. 18. В. 1. С. 156—159.
- [10] Ito R., Kamatuma H., Fukai M. // Phys. Lett. 1964. V. 13. N 1. P. 26—32.
- [11] Ларкин А. И. // Письма ЖЭТФ. 1980. Т. 31. В. 4. С. 239—243.
- [12] Furukawa Y. // J. Phys. Soc. Japan. 1962. V. 17. N 4. P. 630—638.
- [13] Furukawa Y. // J. Phys. Soc. Japan. 1963. V. 18. N 10. P. 1374—1382.
- [14] Roth H. et al. // Phys. Rev. Lett. 1963. V. 11. N 7. P. 328—331.
- [15] Гантмахер В. Ф., Левинсон И. Б. Рассеяние носителей тока в металлах и полупроводниках. М., 1984. 350 с.

Физико-технический институт
им. А. Ф. Иоффе РАН
Санкт-Петербург

Получена 28.01.1992
Принята к печати 30.01.1992